

Electronic Supplementary Information (ESI) available for:

Site-dependent Effects of Methylation on the Electronic Spectra of Jet-Cooled Methylated Xanthine Compounds.

Doory Kim,^a Key Young Yang,^a Hyung Min Kim,^b Tae-Rae Kim,^a Nam Joon Kim,^c Seokmin Shin,^a and Seong Keun Kim^{a†}

a. Department of Chemistry, Seoul National University, Seoul 08826, Korea. E-mail: seongkim@snu.ac.kr;
Fax: +82-2-889-5719; Tel: +82-2-880-8039

b. Department of Chemistry, Kookmin University, Seoul 02703, Korea

c. Department of Chemistry, Chungbuk National University, Chungbuk 28644, Korea.

Supporting Online Materials

FIG. S1. Charge distribution of methylated xanthine compounds calculated by B3LYP/6-311++G(d,p) using the NBO option. (a) Xanthine (XT) (b) Theophylline (TP) (c) Theobromine (TB) (d) Paraxanthine (PX) (e) Caffeine (CF).

Table S1. The HOMO-LUMO gaps of XT and methylated XT compounds. ^aRatios with respect to the values of XT.

Table S2. Fitting parameters B and V_n (n = 3, 6, 9, 12) for TP, TB, and CF.

Table S3. The energy levels (in cm⁻¹) for the internal rotational state of methyl rotors for methylated XT compounds as obtained by treating the rotors as non-interacting.

Table S4. The allowed transitions between the combined total internal rotational states of methyl rotors for the methylated xanthine compounds, with their calculated and observed energies (in cm⁻¹) and wavefunction overlap ($\int \psi_{N_1S_0} \psi_{N_1S_1}^* \int \psi_{N_3S_0} \psi_{N_3S_1}^* \int \psi_{N_7S_0} \psi_{N_7S_1}^* d\tau$) for the ground and first excited states. The parameters in parentheses represent the relative energy above the 0-0 band.

Table S5. Wavefunction overlap ($\int \psi_{S_0} \psi_{S_1}^* d\tau$) for the excitation of each methyl group in methylated XT compounds.

Fig. S1.

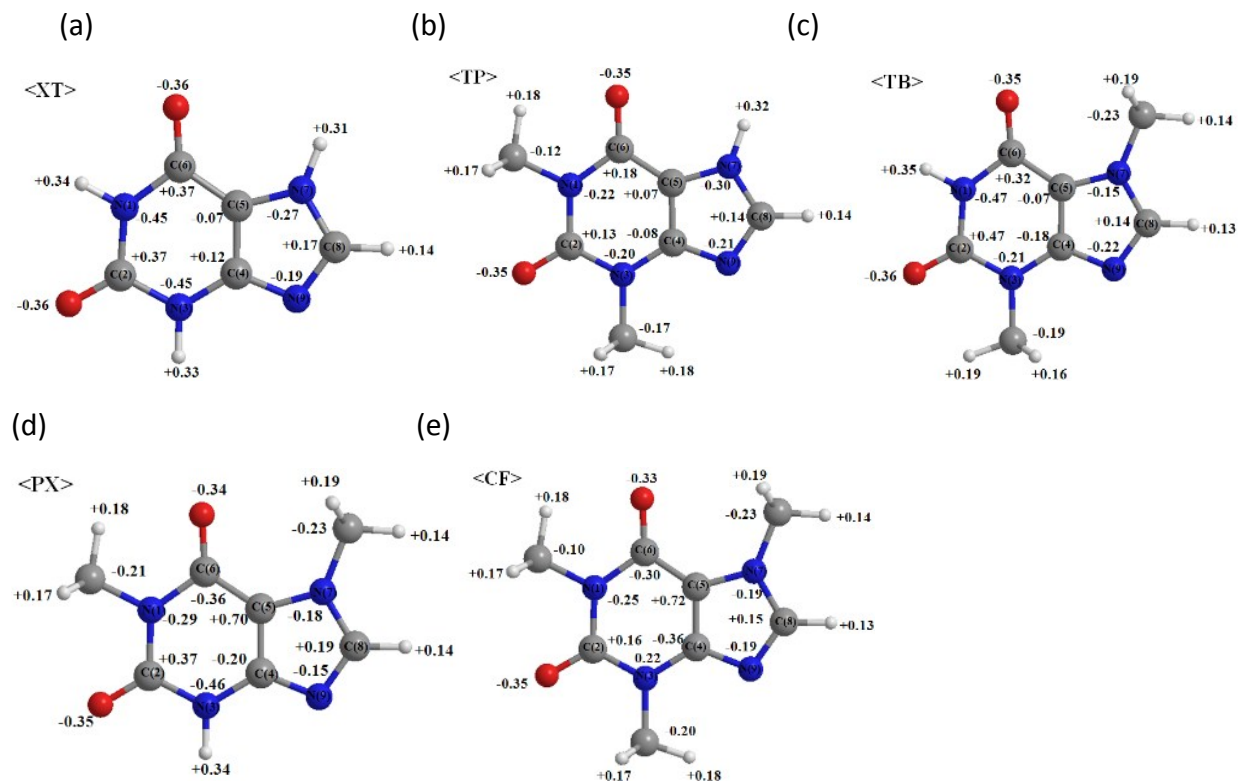


Table S1.

	XT	TP	TB	CF
HOMO-LUMO gap	5.18	5.05	4.97	5.00
R ^a	1.000	0.975	0.959	0.965

Table S2.

	TP		TB		CF		
	N1-Me	N3-Me	N3-Me	N7-Me	N1-Me	N3-Me	N7-Me
S_0 [cm ⁻¹]	$V_3 = 105.8$	$V_3 = 67.1$	$V_3 = 0.7$	$V_3 = 143.5$	$V_3 = 87.8$	$V_3 = 56.6$	$V_3 = 152.9$
	$V_6 = 22.4$	$V_6 = 8.1$	$V_6 = 6.0$	$V_6 = -17.5$	$V_6 = 24.3$	$V_6 = 9.3$	$V_6 = 0.1$
	$V_9 = -1.6$	$V_9 = -2.8$	$V_9 = 1.4$	$V_9 = 3.9$	$V_9 = 1.9$	$V_9 = 1.1$	$V_9 = 1.0$
	$V_{12} = 0.2$	$V_{12} = 0.4$	$V_{12} = -0.2$	$V_{12} = -1.7$	$V_{12} = -0.2$	$V_{12} = -0.1$	$V_{12} = 0.5$
S_1 [cm ⁻¹]	$V_3 = 86.4$	$V_3 = 57.3$	$V_3 = 110.1$	$V_3 = 415.0$	$V_3 = 77.6$	$V_3 = 53.8$	$V_3 = 447.6$
	$V_6 = 13.7$	$V_6 = -0.5$	$V_6 = -5.3$	$V_6 = -16.6$	$V_6 = 12.4$	$V_6 = -10.4$	$V_6 = -53.2$
	$V_9 = 0.1$	$V_9 = -0.4$	$V_9 = 1.0$	$V_9 = -7.3$	$V_9 = 1.4$	$V_9 = -1.0$	$V_9 = 0.8$
	$V_{12} = 1.1$	$V_{12} = 0.1$	$V_{12} = 1.3$	$V_{12} = -1.4$	$V_{12} = 1.4$	$V_{12} = -2.6$	$V_{12} = 0.2$
B	5.0	5.0	5.0	5.0	5.0	5.0	5.0

Table S3.

TP							
N1-Methyl				N3-Methyl			
S ₀ state		S ₁ state		S ₀ state		S ₁ state	
Level	Energy	Level	Energy	Level	Energy	Level	Energy
0a ₁	0.0						
1e	0.6	1e	1.0	1e	1.5	1e	2.1
2e	57.7	2e	47.9	2e	38.7	2e	34.0
3a ₂	69.6	3a ₂	62.1	3a ₂	54.9	3a ₂	51.2
3a ₁	83.8	3a ₁	72.7	3a ₁	62.4	3a ₁	59.4
4e	109.6	4e	100.6	4e	91.6	4e	89.4
5e	152.8	5e	144.3	5e	134.9	5e	133.8
6a ₂	206.4	6a ₂	198.3	6a ₂	188.1	6a ₂	188.5
6a ₁	207.2	6a ₁	199.0	6a ₁	188.7	6a ₁	188.5
7e	271.2	7e	263.3	7e	251.9	7e	253.3

TB							
N3-Methyl				N7-Methyl			
S ₀ state		S ₁ state		S ₀ state		S ₁ state	
Level	Energy	Level	Energy	Level	Energy	Level	Energy
0a ₁	0.0						
1e	5.0	1e	0.7	1e	0.4	1e	0.0
2e	20.0	2e	52.2	2e	59.5	2e	115.7
3a ₁	43.5	3a ₂	61.3	3a ₂	65.0	3a ₂	115.9
3a ₂	46.5	3a ₁	86.0	3a ₁	103.1	3a ₁	223.9
4e	80.1	4e	108.6	4e	121.4	4e	226.7
5e	125.0	5e	151.5	5e	164.7	5e	311.6
6a ₂	180.0	6a ₂	205.1	6a ₂	214.8	6a ₂	331.2
6a ₁	180.1	6a ₁	205.3	6a ₁	219.0	6a ₁	368.6
7e	245.0	7e	269.5	7e	280.7	7e	408.3

CF											
N1-Methyl				N3-Methyl				N7-Methyl			
S ₀ state		S ₁ state		S ₀ state		S ₁ state		S ₀ state		S ₁ state	
Level	Energy										
0a ₁	0.0										
1e	0.9	1e	1.2	1e	2.0	1e	2.3	1e	0.3	1e	0.0
2e	50.8	2e	44.1	2e	35.0	2e	31.4	2e	67.7	2e	110.6
3a ₂	66.3	3a ₂	59.7	3a ₂	54.1	3a ₂	47.7	3a ₂	73.1	3a ₂	110.7
3a ₁	73.1	3a ₁	67.9	3a ₁	57.7	3a ₁	59.4	3a ₁	109.8	3a ₁	219.6
4e	102.4	4e	97.1	4e	89.7	4e	88.2	4e	128.4	4e	221.4
5e	146.1	5e	141.1	5e	134.2	5e	132.5	5e	170.3	5e	318.0
6a ₂	200.4	6a ₂	195.4	6a ₂	188.9	6a ₂	186.6	6a ₂	222.1	6a ₂	330.8
6a ₁	200.5	6a ₁	195.8	6a ₁	189.0	6a ₁	187.9	6a ₁	223.3	6a ₁	387.6
7e	265.1	7e	260.3	7e		7e	252.1	7e	286.4	7e	420.1

Table S4.

TP									
S ₀ level	S ₁ level	Cal. E	Overlap	Obs. E	S ₀ level	S ₁ level	Cal. E	Overlap	Obs. E
0a ₁ 0a ₁ (0.0)	0a ₁ 0a ₁	0.0	0.70	0.0	(continued)	1e5e	132.6	0.08	135.8
	0a ₁ 3a ₁	59.4	0.70	52.8		2e4e	135.1	0.01	135.8
	3a ₁ 0a ₁	72.7	0.00			2e5e	179.5	0.00	
	3a ₁ 3a ₁	132.1	0.00			4e4e	187.9	-0.01	186.4
	0a ₁ 6a ₁	188.5	-0.10	186.4		1e3a ₂	-4.1	0.98	-1.9
0a ₁ 1e (1.6)	0a ₁ 1e	0.5	1.00	0.0	(56.3)	2e3a ₂	42.8	-0.03	46.4
	0a ₁ 2e	32.4	-0.41	34.3		4e3a ₂	95.6	0.04	
	3a ₁ 1e	73.2	0.00			1e6a ₂	133.2	0.23	135.8
	0a ₁ 4e	87.9	0.17	89.1		2e6a ₂	180.1	-0.01	181.3
	3a ₁ 2e	105.1	0.00			1e0a ₁	-56.7	-0.01	52.8
	0a ₁ 5e	132.2	-0.08	142.2		2e0a ₁	-9.8	-0.70	-10.8
	3a ₁ 5e	160.5	0.00			1e3a ₁	2.7	-0.01	0.0
0a ₁ 3a ₂ (55.7)	0a3a ₂	-4.5	-0.98	-1.9	(57.7)	2e0a ₁	42.9	-0.04	46.4
	3a ₁ 3a ₂	68.2	0.00			2e3a ₁	49.5	-0.70	46.4
	0a6a ₂	132.8	-0.23	142.2		4e3a ₁	102.3	-0.04	
1e0a ₁ (0.6)	1e0a ₁	0.4	-0.70	0.0		1e6a ₁	131.8	0.00	
	2e 0a ₁	47.3	0.02	46.4		2e6a ₁	178.6	0.10	172.3
	1e3a ₁	59.8	-0.70	52.8		1e1e	-56.2	0.00	-54.5
	5e0a ₁	100.0	-0.02			1e2e	-24.2	0.01	-24.8
	2e3a ₁	106.6	0.02			2e1e	-9.3	0.21	-10.8
	4e3a ₁	159.4	-0.03			2e2e	22.6	0.41	17.8
1e1e (2.2)	1e6a ₁	188.9	0.10	186.4	(59.2)	1e4e	31.2	0.00	
	1e1e	0.9	0.21	0.0		4e1e	43.5	0.01	46.4
	1e2e	32.8	0.41	34.3		4e2e	75.4	0.02	
	2e1e	47.7	-0.01			1e5e	75.6	0.00	
	2e2e	79.6	-0.01			2e4e	78.1	-0.17	
	1e4e	88.2	-0.17	89.1		2e5e	122.5	0.08	120.0
	4e1e	100.5	0.01			4e4e	130.9	-0.01	135.8
	4e2e	132.4	0.02	135.8		4e5e	175.2	0.00	

TB										
S ₀ level	S ₁ level	Cal. E	Overlap	Obs. E	S ₀ level	S ₁ level	Cal. E	Overlap	Obs. E	
0a ₁ 0a ₁ (0.0)	0a ₁ 0a ₁	0.0	-0.10	0.0	(Continued)	1e1e	2e5e	340.9	0.04	340.7
	3a ₁ 0a ₁	86.0	-0.06	81.9		4e5e	397.3	-0.03	400.1	
	0a ₁ 3a ₁	223.9	-0.27	216.8		1e0a ₁	-19.3	0.07	-22.2	
	3a ₁ 3a ₁	309.9	-0.16	309.2		2e0a ₁	32.2	0.09	30.4	
	0a ₁ 6a ₁	331.2	0.31	340.7		4e0a ₁	88.6	-0.02		
	3a ₁ 6a ₁	417.2	0.18	400.1		1e3a ₁	204.7	0.18	210.5	
0a ₁ 1e (0.4)	0a ₁ 1e	0.0	0.03	0.0	(5.0)	2e3a ₁	256.2	0.25	249.4	
	3a ₁ 1e	86.0	0.02			4e3a ₁	312.6	-0.04	309.2	
	0a ₁ 2e	115.7	-0.07	110.6		1e1e	-19.7	-0.02	-22.2	
	3a ₁ 2e	201.6	-0.04			2e1e	31.8	-0.02		
	0a ₁ 4e	226.7	-0.07	235.0		4e1e	88.2	0.00		
	0a ₁ 5e	311.6	-0.07	309.2		1e2e	96.0	0.05	96.2	
0a ₁ 2e (59.5)	3a ₁ 4e	312.6	-0.04	309.2	(5.4)	2e2e	147.5	0.07	140.0	
	3a ₁ 5e	397.6	-0.04	400.1		4e2e	203.9	-0.01		
	0a ₁ 1e	-59.5	-0.12	-60.0		1e4e	207.0	0.05	210.5	
	3a ₁ 1e	26.5	-0.07	30.4		2e4e	258.5	0.07	262.6	
	0a ₁ 2e	56.2	-0.07			1e5e	292.0	0.05	297.2	
	3a ₁ 2e	142.2	-0.04	140.0		4e4e	314.9	-0.01	309.2	
1e0a ₁ (0.0)	0a ₁ 4e	167.2	0.13	168.0	(46.5)	2e5e	343.5	0.07	340.7	
	0a ₁ 5e	252.2	0.13	249.4		4e5e	399.9	-0.01	400.1	
	3a ₁ 4e	253.2	0.08			0a ₁ 0a ₁	-43.5	-0.06	-47.0	
	3a ₁ 5e	338.1	0.08	340.7		3a ₁ 0a ₁	42.5	0.10	40.3	
	1e0a ₁	-22.2	-0.1	-22.2		0a ₁ 3a ₁	180.4	-0.16		
	2e0a ₁	29.3	0.06	30.4		3a ₁ 3a ₁	266.4	0.26		
3a ₁ 1e (46.9)	4e0a ₁	85.7	-0.04		(46.9)	0a ₁ 1e	-43.9	0.02	-47.0	
	1e3a ₁	201.8	-0.25	194.9		3a ₁ 1e	42.1	-0.03	40.3	
	2e3a ₁	253.3	0.16	249.4		0a ₁ 2e	71.8	-0.04	67.0	
	4e3a ₁	309.7	-0.11	309.2		3a ₁ 2e	157.7	0.07		

Supplementary Material (ESI) for PCCP
This journal is © the Owner Societies 2017

1e1e (0.4)	1e1e	-22.2	0.02	-22.2	3a₂0a₁ (43.5)	0a₁4e	182.8	-0.04	179.8
	2e1e	29.3	-0.02			0a₁5e	267.7	-0.04	262.6
	4e1e	85.7	0.01			3a₁4e	268.7	0.07	272.0
	1e2e	93.5	-0.07	96.2		3a₁5e	353.7	0.07	359.0
	2e2e	145	0.04			3a₂1e	14.8	-0.06	11.1
	4e2e	201.4	-0.03			3a₂3a₁	238.7	-0.16	235.0
	1e4e	204.5	-0.07	210.5		3a₂1e	14.4	0.02	11.1
	2e4e	256.0	0.04			3a₂2e	130.0	-0.04	140.0
	1e5e	289.4	-0.34	297.2		3a₂4e	241.0	-0.04	240.6
	4e4e	312.4	-0.03	309.2		3a₂5e	326.0	-0.04	324.3
CF									
S₀ level 0a₁0a₁0a₁ (0 . 0)	S₁ level 0a₁0a₁0a₁ 0a₁3a₁0a₁ 3a₁0a₁0a₁ 3a₁3a₁0a₁ 0a₁0a₁3a₁ 0a₁3a₁3a₁ 3a₁0a₁3a₁ 3a₁3a₁3a₁	Cal. E 0.0 59.4 67.9 127.4 219.6 279.0 287.5 347.0	Overlap -0.17 -0.14 -0.01 -0.01 0.42 0.36 0.02 0.02	Obs. E 0.0 61.6 221.3 271.0 289.3 346.2	S₀ level 1e1e0a₁ (2 . 8)	S₁ level 1e1e0a₁ 2e1e0a₁ 2e2e0a₁ 1e1e3a₁ 1e2e3a₁ 2e1e3a₁ 2e2e3a₁	Cal. E 0.7 43.6 72.7 220.3 249.4 263.1 292.2	Overlap 0.05 0.00 0.00 -0.13 0.22 0.00 0.00	Obs. E 0.0 71.6 221.3 252.7 289.3
0a₁0a₁1e (0 . 3)	0a₁0a₁1e 0a₁3a₁1e 3a₁0a₁1e 0a₁0a₂e 3a₁3a₁1e 0a₁3a₁2e 3a₁0a₁2e 3a₁3a₁2e	-0.3 59.2 67.7 110.3 127.1 169.7 178.2 237.7	0.04 0.03 0.00 -0.12 0.00 -0.10 -0.01 -0.01	0.0 61.6 102.8 174.1 239.5	1e1e1e (3 . 1)	1e1e1e 1e2e1e 2e1e1e 2e2e1e 1e1e2e 1e2e2e 2e1e2e 2e2e2e	0.4 29.5 43.3 72.4 111.0 140.1 153.8 182.9	-0.01 0.02 0.00 0.00 0.04 -0.06 0.00 0.00	0.0 28.6 134.7 156.0 182.9
0a₁1e0a₁ (2 . 0)	0a₁1e0a₁ 0a₁2e0a₁ 3a₁1e0a₁ 3a₁2e0a₁	0.4 29.5 68.3 97.4	0.05 -0.09 0.00 0.00	0.0 28.6 71.6 	1e2e0a₁ (35 . 9)	1e1e0a₁ 1e2e0a₁ 2e1e0a₁ 2e2e0a₁ 1e1e3a₁	-32.3 -3.2 10.5 39.6 187.2	-0.09 0.06 0.00 0.00 0.24	 -4.3 182.9

Supplementary Material (ESI) for PCCP
This journal is © the Owner Societies 2017

0a₁1e3a₁ 0a₁2e3a₁ 3a₁1e3a₁ 3a₁2e3a₁ 0a₁1e1e (2 . 3)	219.9	-0.13	221.3	1e2e1e (36 . 2)	216.3	-0.14	215.0
	249.0	0.22	252.7		230.1	0.00	
	287.9	-0.01	289.3		259.2	0.00	
	317.0	0.01	317.2		1e1e1e	-32.6	0.02
	0a₁1e1e	0.1	-0.01		1e2e1e	-3.5	-0.01
	0a₁2e1e	29.2	0.02		2e1e1e	10.2	0.00
	3a₁1e1e	68.0	-0.01		2e2e1e	39.3	0.00
	3a₁2e1e	97.1	0.00		1e1e2e	77.9	-0.07
0a₁1e2e (35 . 0)	0a₁1e2e	110.7	0.04	104.0	1e2e2e	107.0	0.04
	0a₁2e2e	139.8	-0.06	134.7	2e1e2e	120.8	0.00
	3a₁1e2e	178.6	0.00		2e2e2e	149.9	0.00
	3a₁2e2e	207.7	0.00	207.4	1e0a₁0a₁	-49.6	0.00
	0a₁1e0a₁	-32.7	-0.09		2e0a₁0a₁	-6.7	-0.17
	0a₁2e0a₁	-3.6	0.06	-4.3	1e3a₁0a₁	9.9	0.00
	3a₁1e0a₁	35.3	0.00	35.4	2e3a₁0a₁	52.7	-0.14
	3a₁2e0a₁	64.4	0.00		1e0a₁3a₁	170	-0.01
0a₁2e1e (35 . 3)	0a₁1e3a₁	186.9	0.24	182.9	2e0a₁3a₁	212.9	0.42
	0a₁2e3a₁	216.0	-0.14	215.0	1e3a₁3a₁	229.5	-0.01
	3a₁1e3a₁	254.8	0.01	252.7	2e3a₁3a₁	272.3	0.36
	3a₁2e3a₁	283.9	-0.01	289.3	1e0a₁1e	-49.9	0.00
	0a₁1e1e	-33.0	0.02		2e0a₁1e	-7	0.04
	0a₁2e1e	-3.9	-0.01	-4.3	1e3a₁1e	9.6	0.00
	3a₁1e1e	35.0	0.00	35.4	2e3a₁1e	52.4	0.03
	3a₁2e1e	64.1	0.00	61.6	1e0a₁2e	60.7	0.00
1e0a₁0a₁ (0 . 9)	0a₁1e2e	77.6	-0.07	71.6	2e0a₁2e	103.6	-0.12
	0a₁2e2e	106.7	0.04	104.0	1e3a₁2e	120.2	0.00
	3a₁1e2e	145.5	0.00		2e3a₁2e	163.0	-0.10
	1e0a₁0a₁	0.3	-0.17	0.0	1e1e0a₁	-49.2	0.00
	2e0a₁0a₁	43.2	0.00		1e2e0a₁	-20.1	0.00
	1e3a₁0a₁	59.8	-0.14	61.6	2e1e0a₁	-6.4	0.05
	2e3a₁0a₁	102.6	0.00	102.8	2e2e0a₁	22.7	-0.09
	1e0a₁3a₁	219.9	0.42	221.3	1e1e3a₁	170.4	0.00
1e0a₁3a₁	2e0a₁3a₁	262.8	0.01		1e2e3a₁	199.5	0.00
	1e3a₁3a₁	279.4	0.36	271.0	2e1e3a₁	213.2	-0.13
							215.0

Supplementary Material (ESI) for PCCP
This journal is © the Owner Societies 2017

	2e3a₁3a₁	322.2	0.01			2e2e3a₁	242.3	0.22	239.5
1e0a₁1e (1 . 2)	1e0a₁1e	0.1	0.04	0.0	2e1e1e (53 . 0)	1e1e1e	-49.5	0.00	
	2e0a₁1e	42.9	0.00			1e2e1e	-20.4	0.00	
	1e3a₁1e	59.5	0.03	61.6		2e1e1e	-6.6	-0.01	-8.1
	2e3a₁1e	102.4	0.00	102.8		2e2e1e	22.5	0.02	27.4
	1e0a₁2e	110.6	-0.12	102.8		1e1e2e	61.1	0.00	61.6
	2e0a₁2e	153.5	0.00	156.0		1e2e2e	90.2	0.00	
	1e3a₁2e	170.1	-0.10	174.2		2e1e2e	103.9	0.04	104.0
	2e3a₁2e	212.9	0.00			2e2e2e	133.0	-0.06	134.7

Table S5.

TP							
$\int \psi_{S_o} \psi_{S_1}^*$	0a ₁ -0a ₁	0a ₁ -3a ₁	1e-1e	1e-2e	1e-5e	2e-1e	2e-2e
N1	1.00	0.00	-1.00	0.03	-0.04	-0.02	-1.00
N3	0.70	0.70	-0.21	-0.41	0.17	-0.42	0.22
	2e-5e	3a ₂ -3a ₂	3a ₁ -0a ₁	3a ₁ -3a ₁	4e-1e	4e-2e	4e-4e
N1	-0.05	1.00	0.06	-1.00	-0.04	-0.05	1.00
N3	0.10	-0.98	0.71	-0.67	0.17	0.10	0.45
TB							
$\int \psi_{S_o} \psi_{S_1}^*$	0a ₁ -0a ₁	0a ₁ -3a ₁	1e-1e	1e-2e	1e-5e	2e-1e	2e-2e
N3	-0.43	-0.25	-0.40	0.25	-0.17	0.29	0.39
N7	0.24	0.63	-0.06	0.17	0.17	0.27	0.16
	2e-5e	3a ₂ -3a ₂	3a ₁ -0a ₁	3a ₁ -3a ₁	4e-1e	4e-2e	4e-4e
N3	-0.07	-0.25	-0.25	0.42	-0.10	0.16	0.45
N7	-0.30	-0.71	0.85	0.22	0.29	0.30	0.01
CF							
$\int \psi_{S_o} \psi_{S_1}^*$	0a ₁ -0a ₁	0a ₁ -3a ₁	1e-1e	1e-2e	1e-5e	2e-1e	2e-2e
N1	1.00	0.05	1.00	0.02	-0.03	-0.02	1.00
N3	0.75	0.65	-0.24	0.40	0.17	0.42	-0.25
N7	-0.22	0.56	0.05	-0.16	-0.15	0.27	-0.15
	2e-5e	3a ₂ -3a ₂	3a ₁ -0a ₁	3a ₁ -3a ₁	4e-1e	4e-2e	4e-4e
N1	-0.00	1.00	-0.05	1.00	0.03	0.00	1.00
N3	0.06	0.98	0.66	-0.73	0.14	0.12	-0.46
N7	0.30	0.77	-0.87	0.25	0.31	-0.29	0.01